

도토리 濕粉 끈의 Rheology 特性과 Tannin成分의 影響에 對하여

Study on the Rheological Properties and Effects of Tannin
Components of Acorn Starch Gel

慶熙大學 食品營養學科
助教授 具成子
教授 張晶玉

日本女子大學 食物科
教授 中浜信子
助教 小林智子

Dept. of Food and Nutrition, Kyung Hee University
Assitant Prof.; Sung Ja Koo
Prof.; Jung Ok Chang

Dept. of Food and Nutrition, Japan Women's University
Prof.; Nobuko Nakahama
Assitant; Michiko Kobayash

| <目次> | |
|---------------|--------|
| I. 序論 | IV. 要約 |
| II. 試料 및 實驗方法 | 参考文献 |
| III. 結果 및 考察 | |

<Abstract>

The rheological properties of acorn starch gel (9~13 g/100 ml) were investigated in region of small and large deformation.

The properties were compared with those of potato and wheat starch gel. On the physical characteristics and the effect of tannin contents of acorn starch were examined. The results were as follows:

1. X-ray diffractogram of acorn starch showed C-type and its granules swelled gradually with heating. At 60°C, the maximum solubility of acorn starch was observed.
2. Hardness, brittleness and both small and large deformation of the acorn starch gel were remarkably large, also the concentration dependence of the acorn starch gel could be recognized in small deformation and hardness.
3. The Young's modulus of Hookean body (E_H) in small deformation and the rupture

stress(P_f) in large deformation differed obviously from the parameters of rheological properties in various gels. It was found that the E_H increased with the rise of concentration of the acorn starch gel, however no remarkable change on the P_f was found.

4. It was found that the swelling power, viscosity and rheological properties were affected obviously by the tannin.

I. 序論

도토리 澱粉 木은 韓國의 傳統的 食品으로서 베밀, 녹두, 둥부 澱粉 木과 함께 널리 利用되고 있는 gel 狀食品이다. gel 狀食品의 製造, 加工工程, 品質管理評價에 있어서 texture 가 대단히 重要시 되고 있는데 이는 texture 가 食品의 嗜好性을 左右하는 要素이기 때문이다. 그려므로 食品의 texture 를 數量化 하는 것은 調理科學 및 食品工業關係 研究를 더 한층 發展시켰다.¹⁾ 또한 食品의 rheology 特性은 texture 를 支配하기 때문에 이에 관한 研究도 많이 되어졌다.^{2~12)} 도토리 澱粉 木에 對해서는 문동¹³⁾과 立屋敷等¹⁴⁾의 研究가 있지만 texture 이외의 rheology 特性에 對해서는 거의 報告되어 있지 않다. 具¹⁵⁾의 前報에 이어 도토리 澱粉 木의 基礎的研究로서 도토리 澱粉 木을 製造하여 그의 texture 特性과 微小變形領域의 粘彈性과 大變形領域의 破斷特性을 測定하였으며 rheology 特性值 間의 相互關係를 檢討하였다. 또한 微小變形과 大變形에 關해서도 關聯을 檢討하여 감자 澱粉 gel 및 밀 澱粉 gel 과 比較하였으며 이들 試料 澱粉의 物理的特性과 도토리 澱粉 중의 tannin 成分이 도토리 澱粉 木의 rheology 特性에 미치는 影響에 對해서 檢討하였다.

II. 試料 및 實驗方法

1. 試料의 調製^{14, 15)}

試料로서는 도토리 澱粉 (*Quercus serrata* Lumb. seed) 과 감자 澱粉 및 밀 澱粉 (日本和光純藥製) 을 使用하였다. 도토리 澱粉 調製는 Fig. 1에 나타냈다. Tannin free 도토리 澱粉도 朴等¹⁶⁾의 方法에

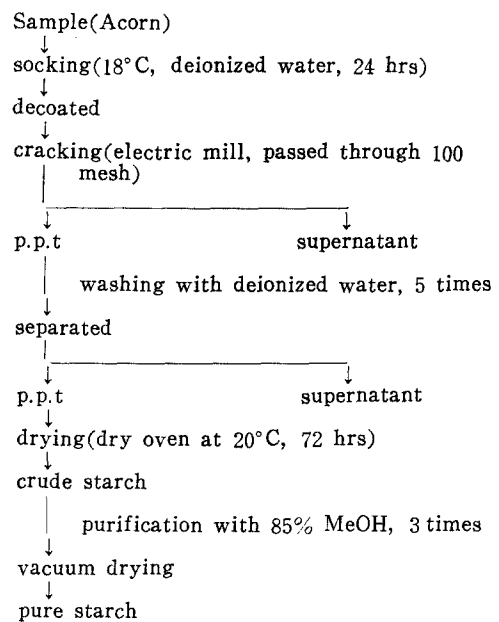


Fig. 1. Schematic diagram for the manufacture of sample starch.

따라 調製한 후 Schoch¹⁷⁾ 方法에 準해서 脫脂시켜 使用하였다. Iodine 呈色比色測定用도 같은 方法으로 製造하였다.

2. 試料 gel 와 調製^{15, 18)}

도토리 澱粉 (S.G. : 1.3) 감자 澱粉 (S.G. : 1.5) 밀 澱粉 (S.G. : 1.4) 을 어느 것도 9g/100ml, 10g/

<Table 1> Size of starch gel

| Sample | Size of glass cell | |
|------------------------|--------------------|----------------|
| | Diameter (cm) | Height (cm) |
| Texture | 3.0 | 1.2 |
| Static viscoelasticity | 3.0 | 2.0 |
| Stress-strain | 3.0 | 2.0 |

100ml, 12g/100ml, 13g/100ml, 되게 調製했다. 도토리 濕粉은 95°C, 감자 濕粉은 90°C, 밀 濕粉은 98°C에 달하였을 때 2分間攪拌한 후 所定의 濕粉濃度를 얻기위하여 蒸發水量을 热水로 補充하고 圆柱形의 glass cell에 流入하여 5°C의 refrigerator에서 20時間凝固시킨 다음 Table 1과 같이 成形시켰다. 試料 gel을 25°C의 incubator에서 60分間放置한 후 試料 gel을 얻었다.

3. 試料澱粉의 特性

1) Tannin 및 amylose 含量

도토리 濕粉중의 tannin을 朴等¹⁶⁾의 方法으로抽出하여 Franiau¹⁹⁾의 方法에 의해 TLC로 確認하였으며 [展開溶媒; Chloroform: ethylformate: formic acid (50:40:10), 發色劑; NaOH, Diazotized paranitroaniline] tannin含量은 HPLC(Water Model 204)로 測定하였다.

標準物質은 gallic acid(日本藥局方)을 使用하여 測定하였다. amylose含量은 Iodine呈色比色法²⁰⁾에 準하여 UV-vis spectrophotometer(Varian DMS 90)로 660nm에서 吸光度를 測定하여 一定比率의 amylose과 amylopectin의 混合溶液에 對하여 吸光度를 같은 方法으로 測定하여 얻었다. 標準曲線으로부터 amylose含量을 求했다.

2) 濕粉粒子의 檢鏡

試料澱粉의 粒子度는 현미경을 이용하여²¹⁾ 測定하였다.

3) X-ray diffraction

試料澱粉의 粒子의 結晶形을 알아보기 위하여 X-ray diffractometer (Model flox IIIA)를 使用하여 測定하였다. 試料는 粉末로 使用하였으며 操作條件은 30kV, 30mA, F.S. 800 CPS, 0.1sec이었다.

4) Amylogram

試料糊液의 粘度는 Brabender amylograph(Brabender Ohy Duisburg)를 使用하여 測定하였으며 tannin free 도토리 濕粉(TF-도토리 濕粉)도 함께 測定하였다.

5) 膨潤力 및 溶解度

Schoch¹⁷⁾-具沼²²⁾등의 方法에 準하여 測定하였으며, 膨潤力 및 溶解度는 다음 式에 의하여 求했다.

다.

$$\text{溶解度}(\%) = \frac{A}{1,000} \times 100 = \frac{A}{10} = S$$

$$\text{膨潤度}(\%) = \frac{100B}{1,000(100-S)} = \frac{B}{10(100-S)}$$

A: 上澄液만을 乾燥시킨 것의 重量(mg)

B: 遠心分離沈澱部分의 重量(mg)

4. 靜的粘彈性

試料 gel의 靜的粘彈性를 얻기위하여 25°C에서 Creepmeter(Toyo-Seiki)를 使用하여 Creep curve를 얻어서 粘彈性解釋²³⁾을 行했다.

5. 破斷特性

定速壓縮 stress-strain의 測定은 Dynagraph(飯尾電式製)를 使用하여 各試料 gel에 對한 stress-strain curve를 얻었다. 木村²⁴⁾의 解釋方法에 따라서 破斷特性值로서 rupture strain(ϵ_f), rupture stress(P_f), rupture energy(E_n)를 求했다. 壓縮速度는 4 cm/min으로 一定하게 하였고 測定溫度는 25°C이었으며 모든 測定值는 15個의 試料에 對해서 測定하여 平均值와 標準偏差를 求했다.

6. Texture 特性

試料 gel의 hardness, cohesiveness, adhesiveness, brittleness 등은 Rheolometer(飯尾電式 RMT: 1,300)를 使用하여 求했다.

Measurement condition

sample diameter: 3.0 cm

sample height: 1.2 cm

plunger diameter: 2.0 cm

clearance: 2 mm

III. 結果 및 考察

1. 試料澱粉의 特性

1) Tannin 및 amylose 含量

① Tannin의 定量

標準物質인 gallic acid 및 tannic acid, 도토리粉末, 도토리 濕粉중의 tannin의 HPLC chromatogram은 Fig. 2~Fig. 5에 나타냈다.

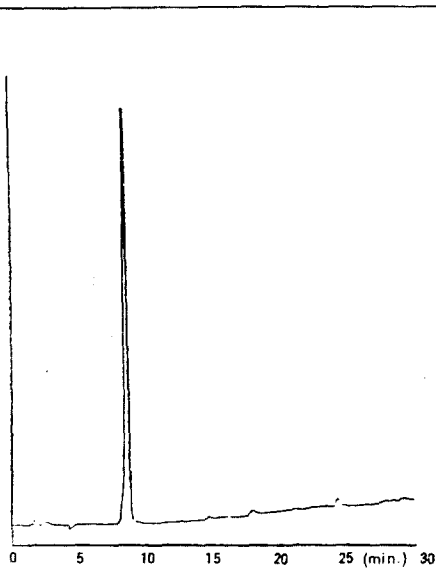


Fig. 2. HPLC chromatogram of standard gallic acid.

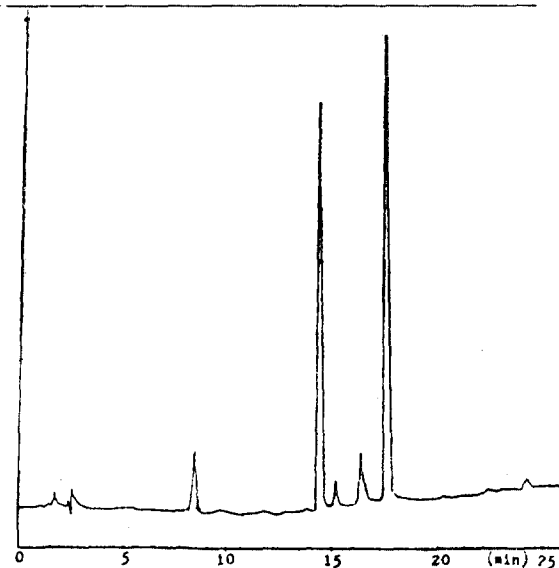


Fig. 3. HPLC of Tannic acid.

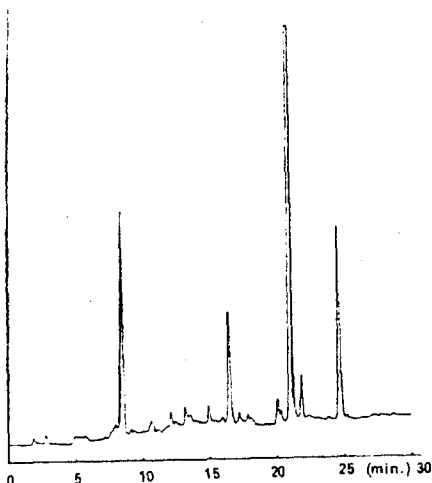


Fig. 4. HPLC chromatogram of tannin extracted from acorn powder.

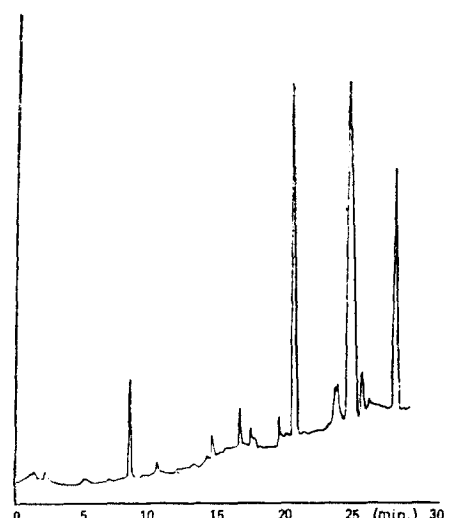


Fig. 5. HPLC chromatogram of tannin extracted from acorn starch.

Column: μ -Bondapak C₁₈

Detector: UV 280nm 0.1 AUFS

Solvent: A-0.5% H₃PO₄,

B-0.5% H₃PO₄ in HPLC methanol

Flow rate: 1.5ml/min

Pressure: 4,500 P.S.I.

Gradient elution: A pump: 100%→0%

B pump: 0%→100%

Injection volume: 20 μ l

Run time: 20 min

<Table 2> Contents of gallic acid in sample

| Sample | Gallic acid (mg/100g sample) | Tannin (g/100g sample) | Gallic acid (g/100g tannin) |
|--------------|------------------------------------|------------------------------|-----------------------------------|
| Acorn powder | 105.35 | 3.01 | 3.50 |
| Acorn starch | 33.60 | 0.96 | 3.50 |

1) Mean.

gallic acid의 peak가 retention time(Rt) 8.70으로 確認되었으며 도토리 粉末, 도토리 濕粉중의 gallic acid 및 tannin含量은 Table 2에 나타났다. 試料로 使用한 도토리 濕粉에는 tannin量이 0.96%였으며 試料調製시 많은량이 제거되어 있었다.

② amylose 含量測定

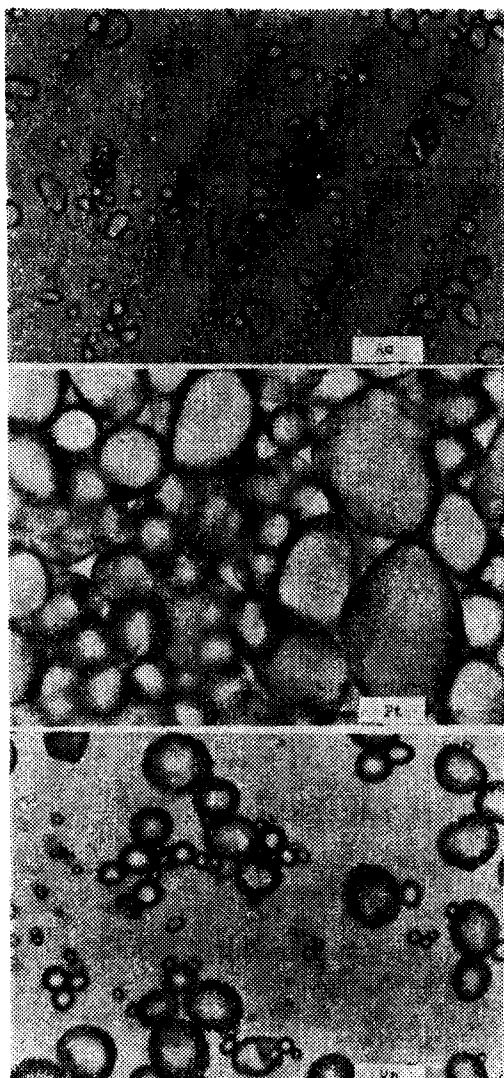


Fig. 6. Photomicrographs of acorn, potato and wheat starch $\times 400$.

Iodine 呈色比色法에 의해 測定한 도토리 濕粉의 amylose含量은 25.3%로 밀 濕粉 25~27%와 비슷한含量이었다.

2) 濕粉粒子의 檢鏡

Trinocular microscop(Olympus BH-2)를 使用하여 試料澱粉의 photomicrographs와 粒子度는 Fig. 6과 Table 3에 나타냈다.

Table 3에 나타난 바와 같이 도토리澱粉의 粒子는 0~10 μm (76%)로 감자나 밀 濕粉에 비해 微細한 편이고 현미경으로 촬영한 試料澱粉의 形態는 相異했다.

3) X-ray diffraction

試料澱粉의 X-ray diffraction pattern은 Fig. 7과 같다. 이 pattern에 의하면 감자 濕粉은 B-type이고 밀 濕粉은 A-type으로 文獻²⁵⁾과一致하였다으며 도토리 濕粉은 C-type으로 나타났다.

4) Amylogram

試料澱粉의 粘度變化를 Brabender amylograph로 測定한 amylogram은 Fig. 8에 나타냈으며 그特性值은 Table 4와 같다. 한편 tannin成分이 도토리 濕粉粘度에 어떤 影響이 미치는 가를 보기 위해 tannin을 除去시킨 도토리 濕粉도 함께 測定하였다. Table 4에 나타난 바와 같이 도토리 濕粉의 糊化開始 溫度는 75.5°C이고 감자 濕粉은 66.5°C 밀 濕粉은 87°C로 나타났으며 TF-도토리

<Table 3> Particle size distribution of acorn, potato and wheat

| Range(μm) | Acorn(%) | Potato(%) | Wheat(%) |
|------------------------|----------|-----------|----------|
| 0~10 | 75.70 | — | 53.04 |
| 10~20 | 24.00 | 10.9 | 18.1 |
| 20~30 | — | 43.5 | 16.9 |
| 30~40 | — | 13.0 | 12.0 |
| 40~50 | — | 13.0 | — |
| 50~60 | — | 4.3 | — |
| 60~70 | — | 6.5 | — |
| 70~80 | — | 4.3 | — |
| 80~90 | — | 2.2 | — |
| 90~100 | — | 2.2 | — |
| Average* | .750 | 27.3 | 5.0 |

* Average particle size was expressed as size of granules having 50% of total granules.

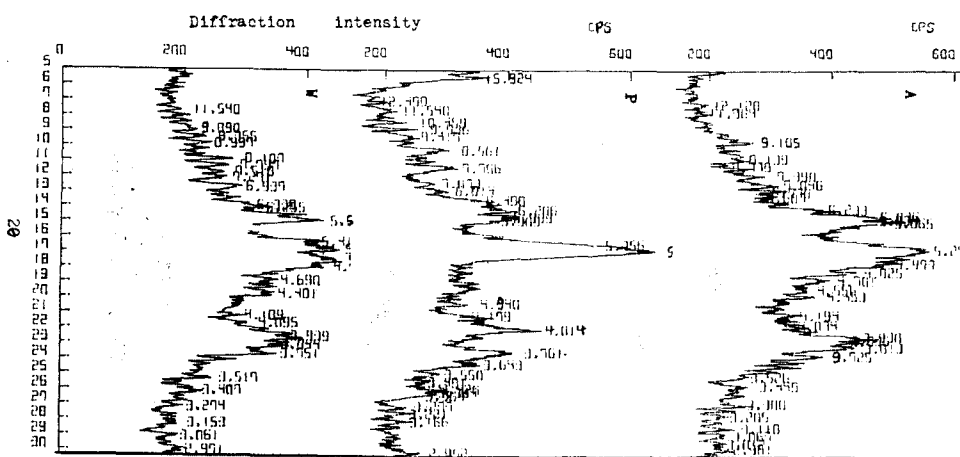
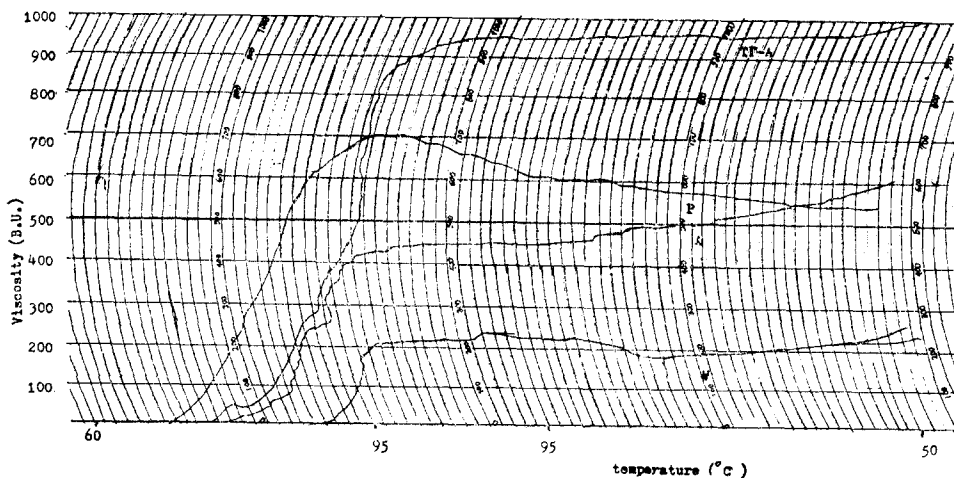


Fig. 7. X-ray diffraction patterns of each starch.

Fig. 8. Amylograms of acorn, tannin free acorn, potato and wheat starch
A: acorn starch. TF-A: tannin free acorn starch. P: potato starch.
W:wheat starch.

<Table 4> Characteristic values of acorn, tannin free acorn, potato and wheat starch

(6% solid basis)

| Sample | Pasting Temp.(°C) | Peak height (B.U.) | Temp. at peak height(C) | Peak height at 95°C (B.U.) | Peak height at 95°C after 15min. hold (B.U.) | Peak height at 50°C (B.U.) |
|--------|-------------------|--------------------|-------------------------|----------------------------|--|----------------------------|
| A | 75.5 | 448 | 95 | 388 | 448 | 578 |
| TF-A | 75.0 | 950 | 95 | 394 | 950 | 1,150 |
| P* | 66.5 | 624 | 95 | 683 | 624 | 513 |
| W | 87.0 | 218 | 95 | 95 | 218 | 222 |

1) Mean

*: 2%solid basis

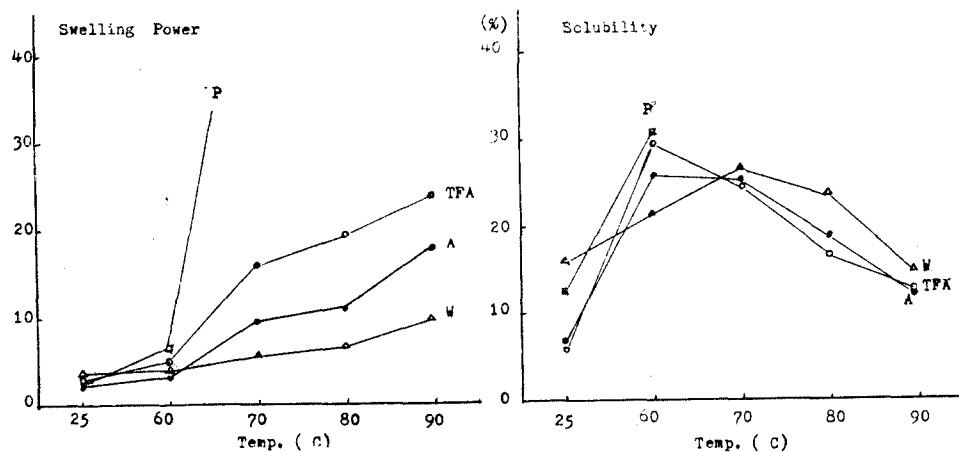


Fig. 9. Change swelling power and solubility of some starch.

P: potato starch. TF-A: tannin free acorn starch. A: acorn starch W: wheat Starch.

<Table 5> Viscoelastic constants and Retardation time of Gels at 25°C

| Sample | Conc. (%) | E_H dyn/cm ² | E_V dyn/cm ² | η_V poise | η_N poise | τ sec. |
|------------------------------|--------------|---|---|---|---|----------------|
| Tannin Free Acorn Starch Gel | 10 | $\times 10^5$ $1.280 \pm 0.362^{N.S.}$ | $\times 10^5$ $5.575 \pm 0.947^\ddagger$ | $\times 10^6$ $0.783 \pm 0.169^\ddagger$ | $\times 10^8$ $1.452 \pm 0.527^\ddagger$ | 1.5 |
| Acorn Starch Gel | 9 | $0.903 \pm 0.086^\dagger$ | 5.366 ± 0.975 | 0.810 ± 0.136 | 0.696 ± 0.242 | 1.5 |
| | 10 | 1.330 ± 0.123 | 6.919 ± 0.841 | 0.992 ± 0.143 | 0.933 ± 0.185 | 1.5 |
| | 12 | 1.627 ± 0.102 | 9.107 ± 1.088 | 1.123 ± 0.118 | 0.943 ± 0.054 | 1.5 |
| | 13 | 1.906 ± 0.558 | 7.993 ± 1.986 | 1.506 ± 0.401 | 0.965 ± 0.090 | 1.6 |
| Potato Starch | 9 | $0.363 \pm 0.041^\ddagger$ | $2.294 \pm 0.306^\ddagger$ | $0.583 \pm 0.129^\ddagger$ | $0.147 \pm 0.058^\ddagger$ | 2.5 |
| | 10 | $0.403 \pm 0.143^\ddagger$ | $2.668 \pm 1.218^\ddagger$ | $0.625 \pm 0.237^\ddagger$ | $0.133 \pm 0.048^\ddagger$ | 1.4 |
| | 12 | $0.714 \pm 0.025^\ddagger$ | $2.704 \pm 0.224^\ddagger$ | $0.648 \pm 0.140^\ddagger$ | $0.140 \pm 0.026^\ddagger$ | 2.3 |
| | 13 | $0.823 \pm 0.089^\ddagger$ | $2.717 \pm 0.471^\ddagger$ | $0.658 \pm 0.094^\ddagger$ | $0.275 \pm 0.07^\ddagger$ | 1.9 |
| Wheat Starch Gel | 9 | $0.535 \pm 0.096^\ddagger$ | $1.631 \pm 0.333^\ddagger$ | $0.365 \pm 0.095^\ddagger$ | $0.156 \pm 0.132^\ddagger$ | 2.5 |
| | 10 | $0.720 \pm 0.021^\ddagger$ | $3.084 \pm 1.214^\ddagger$ | $0.601 \pm 0.234^\ddagger$ | $0.318 \pm 0.151^\ddagger$ | 2.2 |
| | 12 | $0.887 \pm 0.042^\ddagger$ | $3.350 \pm 0.271^\ddagger$ | $0.603 \pm 0.158^\ddagger$ | $0.455 \pm 0.133^\ddagger$ | 1.8 |
| | 13 | $1.412 \pm 0.189^\ddagger$ | $5.104 \pm 0.974^\ddagger$ | $0.845 \pm 0.248^\ddagger$ | $0.551 \pm 0.264^\ddagger$ | 1.6 |

†: Mean \pm S.D. ‡: p < 0.01 significantly different from acorn starch group, N.S.: not significant.

澱粉은 75°C로 도토리 濕粉과 차이가 없었다. 最高粘度는 감자 濕粉이 624 B.U.로 가장 높고 도토리 濕粉이 448 B.U., 밀 濕粉이 218 B.U.의順으로 낮았다. TF-도토리 濥粉은 950 B.U.로 도토리 濥粉에 비해 약 2倍 높게 나타났다. 最高冷却粘度는 도토리 濥粉이 578 B.U.이고 감자 濥粉이 513 B.U. 밀 濥粉이 222 B.U.의順으로 도토리 濥粉이 제일

높게 나타난 것은 具¹⁵⁾의 結果와一致하였다. TF-도토리 濥粉은 1,150 B.U.로 도토리 濥粉에 비해 2倍 높게 나타났다. 이상의 結果에서 감자나 밀 濥粉은 種類가 다르기 때문에 amylogram 特性值가 相異하게 나타났고 tannin 成分이 도토리 濥粉의 糊化開始溫度에는 影響이 미치지는 않았으나 最高粘度와 冷却粘度에 큰 影響이 미치는 것으로

나타난 것은朴¹⁶⁾의結果와一致하였다. 도토리澱粉중의 tannin成分이 gel의 rheology特性에도影響이 미칠것으로豫想된다.

5) 膨潤力 및 溶解度

試料澱粉의 膨潤力 및 溶解度를 Fig. 9에 나타냈다. 膨潤力은 試料澱粉 모두 60°C부터 温度上

昇과 함께膨潤되었다. 그중 감자澱粉은 60°C부터 급격히膨潤되었으며 그 다음이 도토리澱粉이고 밀澱粉이 가장膨潤力이 낮았다. 도토리澱粉과 TF-도토리澱粉을比較하면 TF-도토리澱粉쪽이膨潤力이 약간 높았다.

溶解度는 감자와 도토리澱粉은 60°C일 때 밀澱

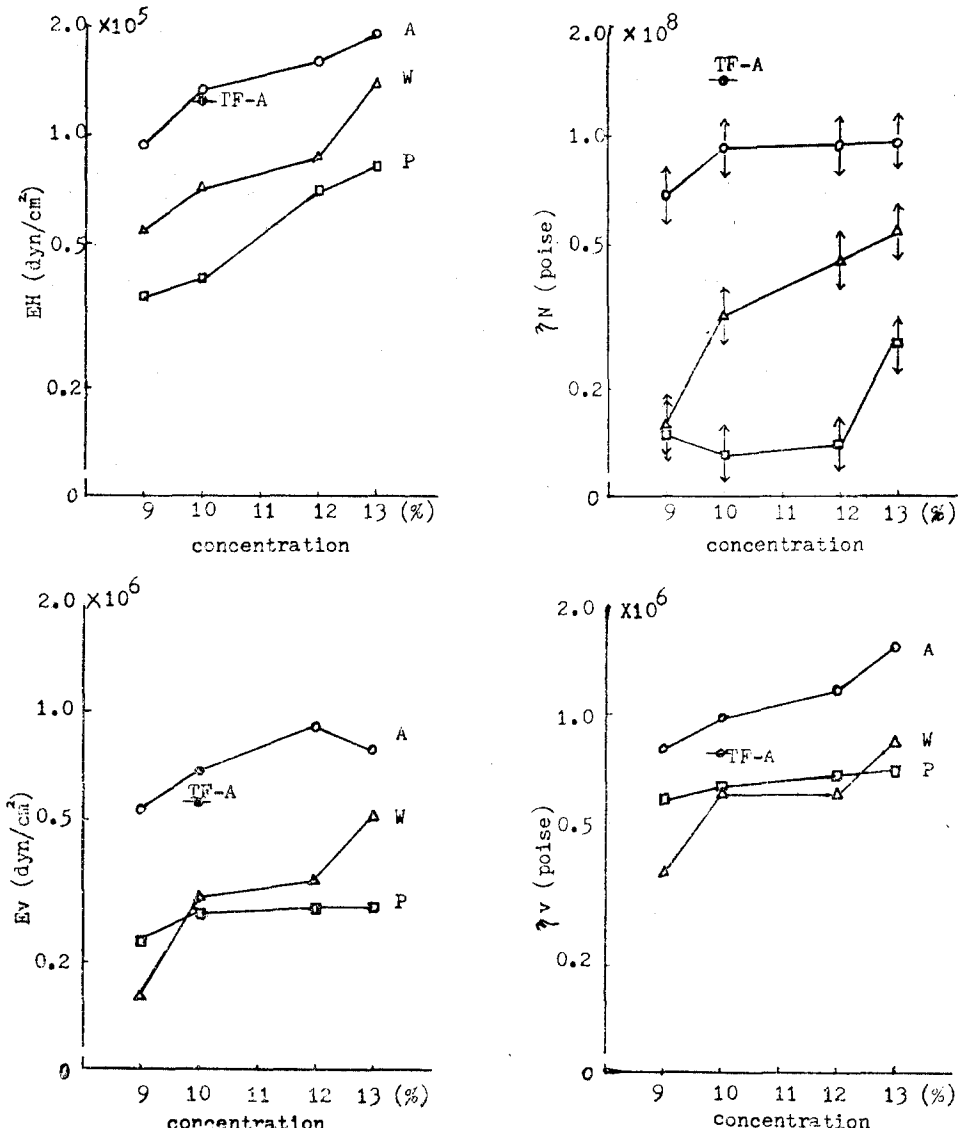


Fig. 10. Variation of viscoelastic constants of Gels at different concentration (25°C).

—●—: Tannin Free Acorn starch Gel —○—: Acorn starch Gel
 —□—: Potato starch Gel —△—: Wheat starch Gel

粉은 70°C에서 最大溶解度를 나타냈다. TF-도토리 濕粉은 도토리 濕粉에 比해 약간 높았을 뿐 큰 差는 없었다. 濕粉중의 amylose가 無오드²⁵⁾, 脂肪 爰²⁶⁾ 및 polyphenol 류인 tannin²⁷⁾등과 複合體를 만들므로서 膨潤을 억제한다는 事實은 이미 잘 알려져 있다. 本研究에서도 도토리 濕粉중의 tannin이 膨潤力에 약간 影響이 미치는 것으로 나타났다.

• 靜的粘彈性

Creepmeter를 使用하여 測定한 試料 gel의 creepcurve는 4要素 Model로 解釋되어 粘彈性係數는 柔烟 등²⁴⁾의 解釋에 따라 求하여 Table 5에 나타났다. 10g/100ml 도토리 濕粉 gel을 基準으로 比較하면 瞬間彈性率 E_H 는 감자와 밀 濕粉 gel은 현저히 낮게 나타났으며 TF-도토리 濕粉 gel과는 유의차가 나타나지 않았다($p < 0.01$). Voigt body의 弹性率 E_V 와 站性率 η_V 도 도토리 濕粉 gel에 比해 감자나 밀 濕粉 gel이 유의적으로 낮게 나타났다($p < 0.01$). 이것은 도토리 濕粉 gel이 감자나 밀 濕粉 gel 보다 遶延變形이 작다는 것을 意味하며 流動部의 粘性率 η_N 도 도토리 濕粉 gel이 현저히 높게 나타났는데 이는 도토리 濕粉 gel 보

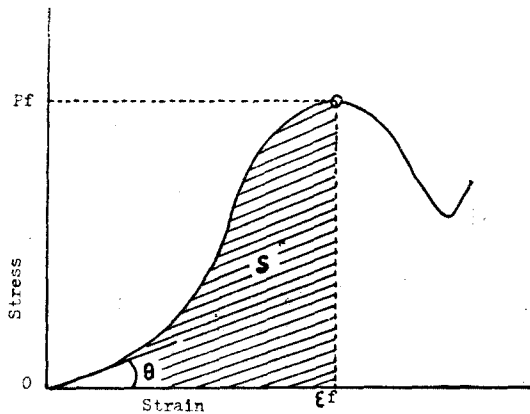


Fig. 11. Model of stress-strain curve of starch gel.

ϵ_f : rupture strain P_f : rupture stress
S: area —○—: rupture point

다 감자나 밀 濕粉 gel이 流動變形이 월천크다는 것으로 解釋된다. 특히 TF-도토리 濕粉 gel은 도토리 濕粉 gel에 比해 유의적으로 높게 나타났으며($p < 0.01$) 1.5倍나 높았다. tannin 成分이 流動部의 粘性率에 크게 影響이 미치는 것으로 생각

<Table 6> The parameters of rupture property in Gels at 25°C

| Sample | Conc. (%) | ϵ_f (cm/cm) | P_f (dyn/cm ²) | E_n (erg/cm ³) |
|------------------------------|--------------|----------------------------|---|---|
| Tannin Free Acorn Starch Gel | 10 | $0.499 \pm 0.021 \ddagger$ | $\times 10^5$ $4.29 \pm 0.34 \ddagger$ | $\times 10^4$ $5.63 \pm 0.44 \ddagger$ |
| Acorn | 9 | $0.488 \pm 0.040 \ddagger$ | 2.02 ± 0.40 | 2.63 ± 0.74 |
| Starch | 10 | 0.482 ± 0.049 | 2.85 ± 0.29 | 4.12 ± 0.91 |
| Gel | 12 | 0.482 ± 0.019 | 2.89 ± 0.19 | 4.29 ± 0.38 |
| | 13 | 0.442 ± 0.046 | 2.92 ± 0.08 | 3.45 ± 0.31 |
| Potato | 9 | $0.622 \pm 0.060 \ddagger$ | $1.42 \pm 0.18 \ddagger$ | $2.48 \pm 0.41^{N.S.}$ |
| Starch | 10 | $0.540 \pm 0.057 \ddagger$ | $1.48 \pm 0.24 \ddagger$ | $2.55 \pm 0.40 \ddagger$ |
| Gel | 12 | $0.531 \pm 0.043 \ddagger$ | $1.56 \pm 0.22 \ddagger$ | $2.76 \pm 0.35 \ddagger$ |
| | 13 | $0.509 \pm 0.029 \ddagger$ | $2.35 \pm 0.21 \ddagger$ | $3.47 \pm 0.33^{N.S.}$ |
| Wheat | 9 | $0.462 \pm 0.030 \ddagger$ | $0.70 \pm 0.09 \ddagger$ | $0.73 \pm 0.08 \ddagger$ |
| Starch | 10 | $0.429 \pm 0.026 \ddagger$ | $0.84 \pm 0.03 \ddagger$ | $0.91 \pm 0.06 \ddagger$ |
| Gel | 12 | $0.408 \pm 0.023 \ddagger$ | $0.98 \pm 0.04 \ddagger$ | $1.16 \pm 0.06 \ddagger$ |
| | 13 | $0.387 \pm 0.019 \ddagger$ | $1.26 \pm 0.09 \ddagger$ | $1.24 \pm 0.09 \ddagger$ |

ϵ_f : Rupture strain P_f : Rupture stress E_n : Rupture energy \ddagger : Mean \pm S.D.

\ddagger : $p < 0.01$ significantly different from acorn search group $N.S.$: not significant

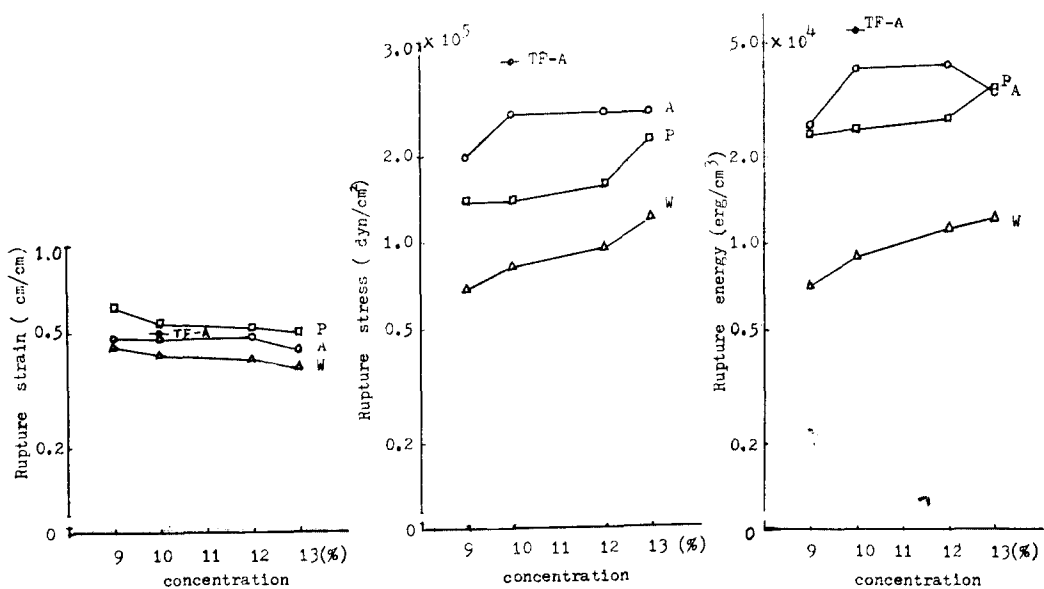


Fig. 12. Variation of rupture property of Gels at different concentration (25°C).

—●—: Tannin free Acorn starch Gel —○—: Acorn starch Gel
 —□—: Potato starch Gel —△—: Wheat starch Gel

<Table 7>

Texture parameters of Gel at 25°C

| Sample | Conc. (%) | Hardness R.U | Cohesiveness R.U | Adhesiveness R.U | Brittleness R.U |
|------------------------------|-----------|--------------------------|--------------------------------|---------------------------------|--------------------------|
| Tannin Free Acorn Starch Gel | 10 | $1.51 \pm 0.15^\ddagger$ | $0.60 \pm 0.120^{\text{N.S.}}$ | $0.003 \pm 0.006^{\text{N.S.}}$ | $0.29 \pm 0.10^\ddagger$ |
| Acorn Starch | 9 | $0.74 \pm 0.12^\dagger$ | 0.43 ± 0.045 | 0.006 ± 0.001 | 0.37 ± 0.10 |
| Gel | 10 | 1.00 ± 0.10 | 0.55 ± 0.139 | 0.002 ± 0.000 | 0.58 ± 0.05 |
| | 12 | 1.04 ± 0.03 | 0.44 ± 0.024 | 0.003 ± 0.103 | 0.72 ± 0.04 |
| | 13 | 1.87 ± 0.17 | 0.37 ± 0.120 | 0.008 ± 0.053 | 0.97 ± 0.27 |
| Potato Starch | 9 | $0.46 \pm 0.06^\ddagger$ | $0.71 \pm 0.087^\ddagger$ | — | $0.10 \pm 0.01^\ddagger$ |
| Gel | 10 | $0.48 \pm 0.08^\ddagger$ | $0.73 \pm 0.113^\ddagger$ | — | $0.11 \pm 0.02^\ddagger$ |
| | 12 | $0.73 \pm 0.06^\ddagger$ | $0.60 \pm 0.093^\ddagger$ | $0.070 \pm 0.014^\ddagger$ | $0.11 \pm 0.02^\ddagger$ |
| | 13 | $1.04 \pm 0.07^\ddagger$ | $0.57 \pm 0.130^\ddagger$ | $0.062 \pm 0.019^\ddagger$ | $0.13 \pm 0.03^\ddagger$ |
| Wheat Starch | 9 | $0.33 \pm 0.01^\ddagger$ | $0.52 \pm 0.016^\ddagger$ | $0.041 \pm 0.018^\ddagger$ | $0.05 \pm 0.01^\ddagger$ |
| Gel | 10 | $0.43 \pm 0.03^\ddagger$ | $0.54 \pm 0.034^{\text{N.S.}}$ | $0.065 \pm 0.018^\ddagger$ | $0.06 \pm 0.02^\ddagger$ |
| | 12 | $0.50 \pm 0.05^\ddagger$ | $0.53 \pm 0.031^\ddagger$ | $0.069 \pm 0.023^\ddagger$ | $0.07 \pm 0.01^\ddagger$ |
| | 13 | $0.63 \pm 0.06^\ddagger$ | $0.54 \pm 0.425^\ddagger$ | $0.116 \pm 0.036^\ddagger$ | $0.07 \pm 0.02^\ddagger$ |

R.U: Rheometer Unit.

†: Mean \pm S.D. ‡: $p < 0.01$ significantly different from acorn starch group

N.S: not significant

된다. Voigt body의 遲延部의 粘性率과 弹性率의 比 즉 $\tau = \eta v / E_v$ 는 밀 澱粉 gel이 제일 높고 도토리 澱粉 gel은 낮았다. 遲延變形의 變形速度인 τ 는 모두 3 sec 이내에 있었다. 試料 gel의 濃度증가에 따른 變化를 Fig. 10에 나타냈다.

Hookean body의 弹性率 E_H 는 試料 gel 모두 濃度증가에 따라 커졌다. Voight body 弹性率도 濃度증가에 따라 증가하였으며 도토리 澱粉 gel은 13 g/100 ml 濃度에서 다소 減少하였다. 밀 澱粉 gel은 增加를 보인 반면 감자 澱粉 gel은 거의 變化가 없었다. Newtonian body의 粘性率은 도토리 澱粉 gel의 10 g/100 ml의 濃度에서부터 완만한 증가를 나타냈고 밀 澱粉 gel도 증가를 보였다. 감자 澱粉 gel은 12 g/100 ml 내지 13 g/100 ml에 있어서 급격한 增加를 나타냈다. 도토리 澱粉 gel은 감자나 밀 澱粉 gel에 比해 弹性率 및 粘性率 양쪽 모두 크게 나타났다.

3. 破斷特性

Dynagraph에 의하여 测定한 試料 gel의 stress-strain curve의 代表의 例를 Fig. 11에 나타냈다. 破斷點에서 最高應力を 나타내고 脆性的으로 破斷했으며 破斷후에는 應力이 급속히 減少되었다. 얻어진 각 試料 gel의 破斷特性值는 Table 6에 나타냈다. 도토리 澱粉 gel 10 g/100 ml 濃度를 基準으로 比較하면 rupture strain ϵ_f 는 감자 澱粉 gel이 유의하게 ($p > 0.01$) 높은 반면 밀 澱粉 gel은 낮았다. rupture stress P_f 는 TF-도토리 澱粉 gel이 제일 크고 도토리, 감자, 밀 澱粉 gel順으로 밀 澱粉 gel이 가장 작았다. rupture energy E_n 도 TF-도토리 澱粉 gel이 또한 크게 나타난 것은 rupture stress와 同一한 結果였다. TF-도토리 澱粉 gel은 도토리 澱粉 gel에 比해 rupture strain은 유의차($p < 0.01$)는 있었지만 큰 차는 아니었고 rupture stress는 1.5倍 정도 높았기 때문에 rupture energy 또한 높게 나타났다. TF-도토리 澱粉 gle의 rupture stress가 높은 것은 ηN 가 높게 나타난 것과 關聯이 있는 것으로 본다. 濃度增加에 따른 破斷特性의 變化를 Fig. 12에 나타냈다. rupture strain은 濃度증가에 따라 약간의 減少를 나타냈다. rupture stress와 rupture energy

는 濃度增加에 따라 감자와 밀 澱粉 gel은 약간씩 높아졌으나 도토리 澱粉 gel 13/100 ml 濃度에서는 rupture energy가 오히려 減少하였는데 이것은 voigt body의 弹性率이 13 g/100 ml 濃度에서 減少된 것과 關聯이 있다고 생각된다.

4. Texture 特性

試料 gel의 texture 特性值를 Table 7에 나타냈다. 10 g/100 ml 濃度를 基準으로 比較하면 hardness는 TF-도토리 澱粉 gel이 1.5/R.U로 가장 높고 도토리 澱粉 gel이 1.00 R.U, 감자 澱粉 gel이 0.48 R.U, 밀 澱粉 gel이 0.43의 順으로 TF-도토리 澱粉 gel 및 도토리 澱粉 gel이 감자나 밀 澱粉 gel보다 1.5~2倍 정도 높게 나타났다. TF-도토리 澱粉 gel은 도토리 澱粉 gel보다 유의성 있게 높게 나타났다($p < 0.01$). cohesiveness는 감자 澱粉 gel이 0.73 R.U로 제일 높고 그외 試料 gel은 同程度였으며 adhesiveness는 밀 澱粉 gel이 0.07 R.U이고 감자 澱粉 gel은 나타나지 않았다. TF-도토리 및 도토리 澱粉 gel은 0.02~0.03 R.U로 현저히 낮았다. brittleness는 도토리 澱粉 gel이 0.58 R.U로 다른 試料 gel에 比해 현저히 높았다. TF-도토리 澱粉 gel의 brittleness도 0.29 R.U로 감자나 밀 澱粉 gel보다 커지만 도토리 澱粉 gel보다는 1/2정도 작았다. 이는 도토리 澱粉의 特性이 다른 澱粉과 다르기 때문이고 도토리의 tannin 成分이 hardness와 brittleness에 影響이 미치는 것으로 생각된다. 濃度에 따른 試料 gel의 texture 變化를 Fig. 13에 나타냈다. hardness는 試料 gel 전부가 濃度增加에 따라 커졌으며 cohesiveness는 도토리와 감자 澱粉 gel은 약간씩 減少하였고 밀 澱粉 gel은 變化가 거의 없었다. adhesiveness는 밀 澱粉 gel이 약간씩 增加했을 뿐이고 brittleness는 감자 澱粉과 밀 澱粉 gel은 濃度增加에 變化가 없는 반면 도토리 澱粉 gel은 유의성 있게 增加를 나타냈다($p < 0.01$). 이상의 結果에서 hardness와 rupture stress, rupture energy가 도토리 澱粉보다 TF-도토리 澱粉 gel 쪽이 크게 나타났고 E_H 는 그다지 變化가 없는 것은 hardness와 rupture stress가 同樣의 性質을 가지는 것으로 나타내고 있다.

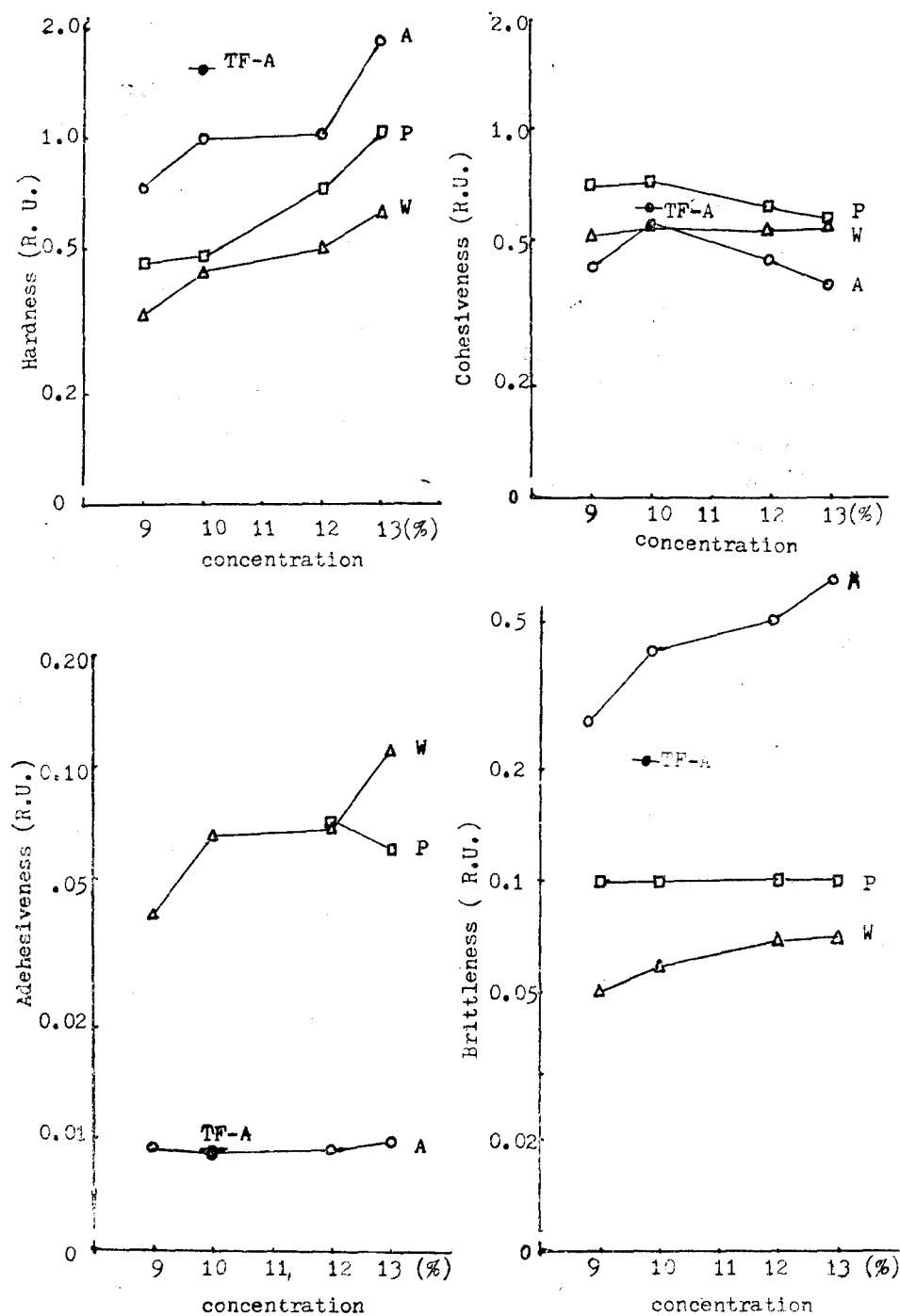


Fig. 13. Variation of Texture Parameters of Gels at different concentration (25°C).
 —●—: Tannin free Acorn starch Gel —○—: Acorn starch Gel
 —□—: Potato starch Gel —△—: Wheat starch Gel

TF-도토리 濕粉은 특히 破斷特性值가 极히 높은 gel이다. 도토리 濕粉은 tannin(fatty acid 木)이 있을 경우 破斷特性值는 低下되지만 이것은 amylogram에서 TF-도토리 濕粉 보다 도토리 濕粉 쪽의 粘度가 낮은 것과 잘 對應된다. 弹性率(E_H)는 hardness나 破斷特性值와는 变도의 性質을 나타내며 이 경우에는 그다지 變化되지 않았다.

5. 粘彈性과 破斷特性과의 關係

大變形領域의 rheology 特性인 破斷應力 P_f 와 微小變形領域의 rheology 特性인 Hookean body 의 弹性率 E_H 와 Newtonian body 의 粘性率 η_N 와의 關係를 Fig. 14에 나타냈다. 13 g/100 ml 밀 濕粉 gel과 10 g/100 ml 도토리 濕粉 및 10 g/100 ml TF-도토리 濕粉 gel의 Hookean body 的 弹性率은 1.4×10^5 dyn/cm²와 1.3×10^5 dyn/cm²로 비슷하지만 破斷應力은 1.26×10^5 dyn/cm²와 2.85×10^5 dyn/cm² 및 4.29×10^5 dyn/cm²로 밀 濥粉 gel에 比해 2~3倍 差異가 있다. 또한 9 g/100 ml 감자 濥粉 gel과 13 g/100 ml 밀 濥粉 gel은 破斷應力은 비슷하지만 E_H 는 1.5倍 差가 있다.

이와같이 大變形領域의 破斷特性值와 微小變形領域의 弹性率 E_H 및 粘性率 η_N 가 差異가 있는 것은 各 濥粉의 特性이 다르기 때문이라고 생각된다. 도토리 濥粉 gel의 경우 tannin 成分 有無에 따라

破斷應力에 큰 差異를 나타내는데 tannin 成分이 弹性率보다는 粘性率에 더 影響이 미치는 것으로 생각된다. 도토리 濥粉 gel은 감자나 밀 濥粉 gel 보다 弹性率이 높을 뿐만 아니라 粘性率도 높기 때문에 hardness와 brittleness가 크게 나타났다고 생각된다.

IV. 要 約

도토리 濥粉 木의 基礎的 研究로서 도토리 濥粉 木의 rheology 特性을 測定하여 이를 特性值間의 相互關係와 大變形과 微小變形間의 關聯性을 감자와 밀 濥粉과 比較 檢討하였으며 試料 濥粉의 物理的 特性과 도토리 濥粉中에 残留한 tannin 成分이 糊化 및 gel의 rheology 特性에 미치는 影響도 함께 檢討하여 다음과 같은 結果를 얻었다.

1. X-ray diffraction pattern은 도토리 濥粉이 C-type으로 나타났다.

2. Amylogram에서 도토리 濥粉의 糊化開始溫度는 75.5°C 로 감자와 밀 濥粉의 中간 정도였고 最高粘度는 448 B.U로 감자 濥粉보다 낮았으나 冷却粘度는 578 B.U로 높았으며, tannin 成分이 濥粉의 糊化開始溫度에는 影響이 미치지 않았으나 最高粘度와 冷却粘度를 크게 低下시켰다.

3. 도토리 濥粉은 溫度上승에 따라 서서히 膨潤

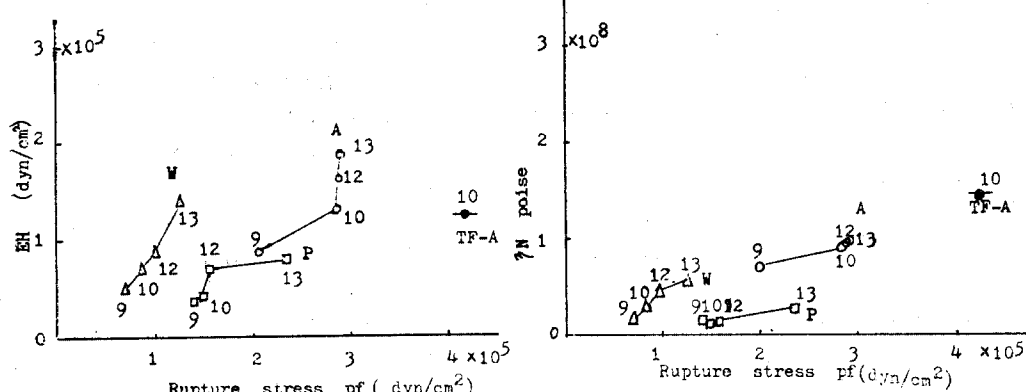


Fig. 14. Relativity of rupture stress and Young's modulus of Hookean body of Gel.

—●—: Tannin free Acorn starch(10%) —○—: Acorn starch Gel
—□—: Potato starch Gel —△—: Wheat starch Gel

Figures are concentration of Gel (g/100ml)

되었으며 60°C에서 最高溶解度를 나타냈고 tannin의 影響도 약간 미치는 것으로 나타났다.

4. 微小變形과 大變形領域 양쪽 다 감자나 밀澱粉 gel에 비해 도토리 澱粉 gel이 크게 나타났으며 微小變形領域에 있어서의 濃度依存性과 流動部의 粘性率 η_N 에 tannin의 影響이 認定되었다.

5. 도토리 澱粉 gel의 rupture-strain曲線은 S字狀曲線으로 破斷點과 降伏點이一致하였으며 rupture stress에는 tannin의 影響이 커다.

6. 微小變形領域인 E_H 와 大變形領域인 P_f 間에는 gel의 種類에 따라 確實히 다른 rheology特性을 나타냈으며 도토리 澱粉 gel은 濃度增加에 따라 E_H 는 크게 나타났으나 P_f 는 10 g/100 ml~13 g/100 ml範圍에서는 變化가 없었다.

7. 도토리 澱粉 gel은 감자 澱粉이나 밀 澱粉보다 hardness와 brittleness가 월등히 큰 特性을 나타냈고 濃度依存性과 tannin 影響은 hardness에서만 認定되었다.

8. 도토리 澱粉中의 tannin成分이 澱粉의 膨潤 및 糊化, gel의 rheology特性에는 影響이 미치는 것으로 確認되었으나 粒子度와 amylose含量은 直接的의 關聯은 없었다.

参考文獻

- 後藤美三江・吉松藤子・松元文子：食品のテクスチヤ測定に關する研究，家政學雜誌 34(6), 1983, p.302~307.
- 中浜信子・山本誠子・茂本美智子：澱粉ゲルのレオロジー的性質(第一報)，家政學雜誌， 22(5), 1971, p.302~307.
- 茂本美智子・中浜信子：澱粉ゲルのレオロジー的性質(第二報)，家政學雜誌， 22(5), 1971, p.308~315.
- 誌桑磯崎初惠・赤羽ひさ・中浜信子：寒天ゲルの站彈性，農化， 50(6), 1976, p.265~272.
- 赤羽ひさ・小林三智子・中浜信子・大豆たん白ゲル調製過程の力學的特性と構造關係，家政學雜誌， 32(6), 1981, p.427~431.
- 桑畠沙子・中浜信子：大豆たん白ゲル調製條件のレオロジー的性質におよび影響，家政學雜誌， 28(5), 1977, p.334~339.
- 上市康子・大村公仁子・赤羽ひさ・中浜信子：寒天ゲルの壓縮破斷特性，家政學雜誌， 31(9), 1980, p.643~647.
- 小林三智子・赤羽ひさ・中浜信子：大豆たん白ゲルのレオロジー的性質について家政學雜誌， 32(9), 1981, p.660~666.
- 松本晴美・丸山良江・林裕子・熱田玲子：大麥粉，栗粉，黍粉のレオロジー的性質，家政學雜誌， 35(3), 1984, p.165~171.
- 田附きく：ヤマイモ屬3品種群別のレオロジー特性，家政學雜誌， 33(11), 1982, p.591~597.
- 杉山法子・福場博保，そば粉の加水混捏による粘彈性挙動(第一報)，家政學雜誌， 32(1), 1981, p.25~31.
- 이영하·이관영·이서래：Texturometer에 의한 性狀別 食品群의 Texture特性，한국식품과학회지， 6(1), 1974, p.42.
- 문수재·손경희·박혜원：목의 식품과학적 연구，대한가정학회지， 15(4), 1977, p.31.
- 立屋敷かする・李鍾順・寺元芳子：團栗澱粉ヒ二，三の澱粉の調理性，家政學雜誌， 33(6), 1982, p.321~325.
- 具成子：도토리목의 Rheological properties에 關한 研究，대한가정학회지， 22(1), 1984, p.11~18.
- 朴在英·具成子：도토리澱粉의 Taninn成分과 物理的特性에 關한 研究，한국영양학회지， 17(1), 1984, p.21~28.
- Schoch, T.J.: *J. Am. Chem. Soci.*, 16, 1942, p.2954.
- 中浜信子：寒天ゲルのレオロジー的研究，家政學雜誌， 17(4), 1961, p.197~202.
- Franiac, R & Mussche, R.: Quantitative determination of gallic acid in tannic acid by Thin Layer Chromatograph. *J. Inst. Brew.* 78, 1972, p.450~453.
- 中村道徳・鈴木繁男：澱粉科學ハンドブック 1982, p.174.
- MacMaster, M.M.: *Method in Carbohydrate*

- Chem. 4, 1964, p.233.
22. 鈴木繁男・具沼圭二：澱粉科學ハンドブック，朝倉書店，1982，p.288.
23. 桑畠美沙子・中浜信子：大豆たん白ゲルの粘彈性について，農化，49(3)，1975，p.129～134.
24. 大村公仁子・赤羽ひさ・中浜信子：寒天ゲルの破断特性について，家政學雑誌，29(1)，1978，p.22～27.
25. 小野宋三郎：澱粉科學ハンドブック，朝倉書店，東京，1979，p.74.
26. 福島博保：澱粉科學ハンドブック，朝倉書店，東京，1979，p.171.
27. 日比喜子：白粥と茶粥の性状について，家政學雑誌，33，1982，p.11.